

III-31 高拘束圧下における砂のせん断特性について

九州工業技術試験所 正員 〇三浦哲彦
九州大学 工学部 正員 山内豊聰
同 大学院 学生員 中村 総

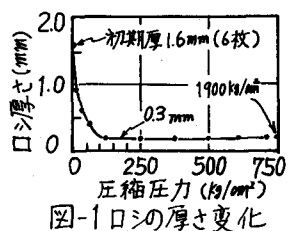
1. まえがき 高圧下の材料特性に関する研究においては、材料の違いや目的に応じて興味の対象となる圧力範囲は当然異なる。土質力学と共通な面を有する構造地質学においては、岩石を対象にして拘束圧の範囲を $500 \sim 3000 \text{ kg/cm}^2$ にとることが多いようである。¹⁾ 土質工学の立場からは、特殊な場合を除いて、試験室における実験拘束圧は 500 kg/cm^2 程度を上限としてよいのではないかと考える。これまた、Vesic & Clough²⁾ そのほかによつて、砂は拘束圧数 10 kg/cm^2 のせん断によってかなり破碎され、さらに高い拘束圧のもとでは、初期剛性比の影響およびタイレタンシー効果が消失し、塑性的挙動を示すことが明らかにされている。しかし、高拘束圧下における土の挙動についてのデータはまだ十分に蓄積されたとはいえない、明らかにすべき点も多いように思われる。筆者らは、土のような材料の高拘束圧下における諸性質を調べていこうとするものであるが、本報は、飽和砂のせん断試験結果(試料豊浦標準砂、条件圧密排水、 $\phi_s = \text{一定}$)について報告するものである。

2. 試験装置の概要 基本的には従来用三軸圧縮試験機と変わらない。a)三軸座: 内径 80 mm 、肉厚 40 mm 、材質 S45C、供試体寸法 $50 \text{ mm} \times 125 \text{ mm}^2$ 。b)ピストンおよび上下加压板: 50 mm^2 、材質 SC M-21。c)高圧シール: すべて O リング。d)メンブレン: 厚さ $1.9 \sim 2.1 \text{ mm}$ 生ゴムスリーブ。側圧 500 kg/cm^2 における試料への液漏れは $0.08 \text{ cm}^3/\text{hr}$ 以下。e)側液: 約 20% のグリセリン溶液、動粘度 = $1.8 \sim 2.2 \text{ cp}$ 。f)高圧発生法: 増圧比 $1:100$ のエアハイドロポンプによる。最大 500 kg/cm^2 。圧密中はポンプの圧力変動 0.8% を許したが、せん断中は一次圧調節器の補助操作で $\pm 0.3\%$ 以下に抑えた。g)ピストン摩擦力: ピストンが供試体に接触するまでの貫入抵抗を基準値にとり、接触後の荷重増加 = 軸差力としてピストン摩擦力を計算から除いた。

3. 試験方法 a)供試体作製: 密な供試体は 16 層 \times 10 回で密固め、真空中で供試体内空気を除いたのち脱気水を供給、ゆるぎめは従来の方法に準じた。ともに自立のため 0.07 kg/cm^2 の負圧をかけた。 $e_{dense} = 0.63 \sim 0.65$, $e_{loose} = 0.78 \sim 0.80$ 。b)載荷速度: すべて $0.5\%/\text{min}$ とした。予備試験によれば、載荷速度が $2\%/\text{min}$ を越えると、軸差応力は $1\%/\text{min}$ 以下の場合に比べて低下する。c)軸比ヒズミ: $\epsilon = 45 \sim 48\%$ まで与えた。一部の供試体は $\epsilon = 20, 30\%$ を止め、供試体形状等の観察にあたった。

4. データの整理 a)口紙厚さの変化: 供試体端面に用いた合計 6 枚の口紙厚さは、圧力によって図-1 のように変化することを考慮した。b)断面補正: 軸比ヒズミが 30% 以下のときは供試体形状はほぼシリンダ状と考えてよい(写真-1)。軸比ヒズミがそれを越えると急速にタル状に変形していくが、本報のデータはすべて供試体形状はシリンダ状と考えて断面補正を行なつた。

5. 実験結果 (1)圧密段階 (1) 100% 圧密に要する時間(図-2): 従来使われている意味での圧密と異なり、100% 圧密に要する時間は圧密



圧力に支配される。図からつぎのことが読みとれる。圧密圧が 100 kg/cm^2 以下では、粒子は幾何学的に安定な配列を選択しつつ、主として粒子接觸部における局部的破碎を受けける。 100 kg/cm^2 から 200 kg/cm^2 の間の圧力で粒子内部に及ぶ破碎を受けるようになり、新しい粒度構成に応じた安定な配列を求めるようとする。その過程で副次的破碎をともなうものと考えられる。圧力が高いほど圧密終了までの時間が長くかかる傾向にあることは、粒子破碎—再配列が繰返されながら順次進行して所定圧力に応じた配列に落着くことを示唆するものと思う。

b) 圧密圧力と体積ヒズミの関係(図-3)：図-2と同様に、圧密圧力が 100 kg/cm^2

と 200 kg/cm^2 の間に変曲点が認められる。この変曲点は、Vesic²⁾らのデータ¹⁾には見い出せないが、それが豊浦標準砂のような均等な砂に特有なものかどうかは今後の検討に待たねばならない。なお、圧密中に試料中へ漏れた側液の量は、 300 kg/cm^2 以上のとき $0.3 \sim 0.8 \text{ cc}$ 、 100 kg/cm^2 以下で 0 であり、個々のデータからその量を差引いた。

(2) セン断段階 a) 軸ヒズミと軸差応力および体積ヒズミの関係(図-4)：図は初期間ゲキ比が密な場合を示すものであるが、拘束圧におけるセン断特性と比較すると、つきのような点で大きな違いのあることがわかる。

i) 最大軸差応力に達する軸ヒズミはきわめて大きい。その値は、 $\bar{\epsilon}_3 = 200 \text{ kg/cm}^2$ で最も大きく、拘束圧がそれより高くなつても低くなつても減少する傾向にある。ii) 最大軸差応力付近の曲線の形は、 $\bar{\epsilon}_3 = 50 \sim 500 \text{ kg/cm}^2$ の範囲で拘束圧が高くなるほど鋭い。iii) 曲線のうち上りは、 $\bar{\epsilon}_3 = 50 \text{ kg/cm}^2$ を除いて、四者($\bar{\epsilon}_3 = 100, 200, 300$ および 500 kg/cm^2) ほぼ同じ勾配を有して軸差応力 $80 \sim 110 \text{ kg/cm}^2$ に達し、そのうち拘束圧に応じた勾配となる。これが何に起因するものであるか明らかでないが、高拘束圧下における岩石あるいは金属についても同じような例が見られる。iv) 体積ヒズミはつねに正(または 0)で膨張する傾向はまったくない。v) 体積ヒズミは $\bar{\epsilon}_3 = 200 \text{ kg/cm}^2$ で最も大きく、拘束圧が高くなるとかえって減少する。しかし、セン断後の最終間ゲキ比は $\bar{\epsilon}_3 = 200, 300$ および 500 kg/cm^2 でそれぞれ

$0.32, 0.26$ および 0.24 であった。vi) $\bar{\epsilon}_3 = 200 \text{ kg/cm}^2$ 以上では、ある軸ヒズミに達したあと体積変化はなくなる。等体積セン断に入ったときの軸ヒズミは最大軸差応力に達したときのヒズミと関連性はないようである。 $\bar{\epsilon}_3 = 100 \text{ kg/cm}^2$ 以下では、セン断を止めたところでお体積を減少させている。

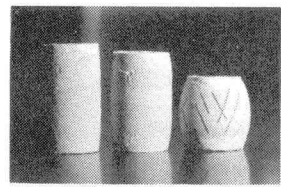


写真-1 供試体形状変化
($\bar{\epsilon}=300 \text{ kg/cm}^2$)。③の斜線はスリップラインを示す。

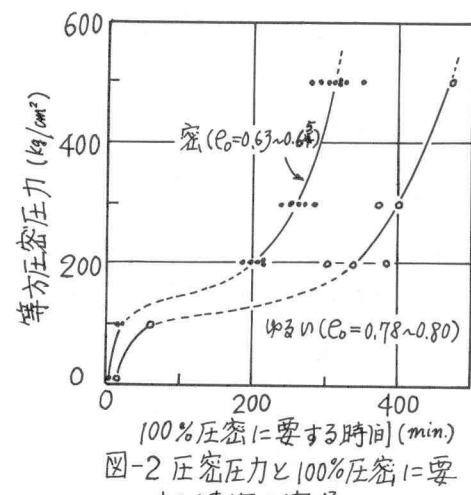


図-2 圧密圧力と100%圧密に要する時間の関係

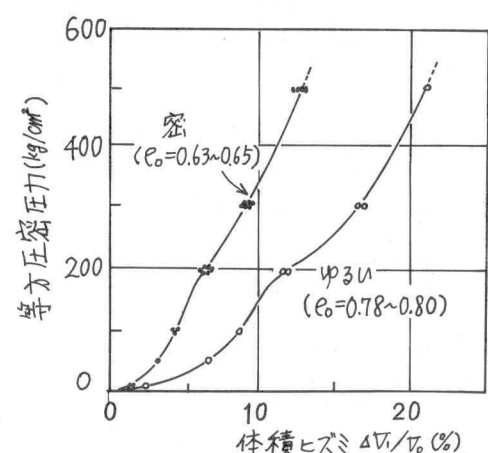


図-3 圧密圧力と体積ヒズミの関係

vi) 前記 iv), v) の観察からつきのようにいえよう。すなはち、ある拘束圧のもとで軸ヒズミを十分に与えるとある間隙比に達し、その後は体積を減じない。この最終間隙比は、 $G_3 = 200 \sim 500 \text{ kg/cm}^2$ の範囲で、拘束圧が高いほど小さい。 $G_3 = 100 \text{ kg/cm}^2$ 以下については今後検討したい。図-4に因して述べた以上の諸実験は、iii) を除いて、Vesi らの実験結果と傾向を同じくするものである。

b) モールの応力図(図-5): 拘束圧が $10 \sim 100 \text{ kg/cm}^2$ のときのデータが十分でないので正確などとはわからぬが、すでに多くの人が報告しているように、拘束圧が大きくなると破壊包絡線の傾きは小さくなるようである。傾きが減少するのは粒子の破碎によるものと一般に考えられている。

(3) 試験後供試体についての調査 の圧密およびせん断による粒度変化(図-6): 圧密による粒子破碎(写真-2)は、せん断時に比べてかなり少ない。圧密圧力が 100 kg/cm^2 以下では原粒度との粒度の差はほとんどない。5(i)項でもみてきたように、圧密圧力が 100 kg/cm^2 を越えたときにはじめて粒子内部によより破碎が生じるものと考えられる。破碎量が急に変わらる圧力は、粒子の堅さや初期粒度によって当然異なるであろう。つぎに、図-6 中の軸ヒズミを与えたのちの粒度は供試全体の平均的粒度を示すものであるが、高い拘束圧でより多く粒子破碎が生じているのがわかる。 $G_3 = 100 \text{ kg/cm}^2$ のときの平均主応力はおおよそ 200 kg/cm^2 であるが、これを 500 kg/cm^2 の圧密圧力のみによるものと比較しても粒子破碎量はかなり多い。このことから、高拘束圧下でのせん断における粒子破碎は、せん断变形とともに粒子相互の摩耗に大きく支配されると考えうことができよう。

b) せん断供試体のスリップラインについて:
 $\sigma_3 = 100 \text{ kg/cm}^2$ 以上の拘束圧のもとで 45% 以上軸ヒズミを与えた供試体は、側面に

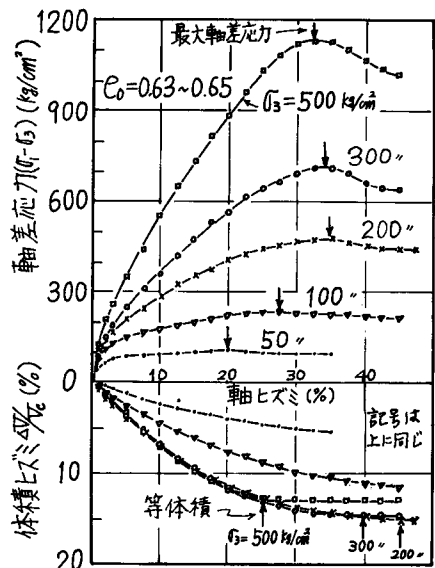


図-4 軸ヒズミと車軸差応力および体積ヒズミの関係(圧密排水)

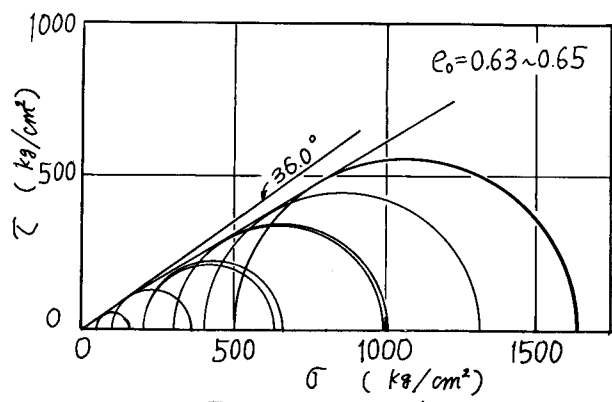


図-5 モールの応力図

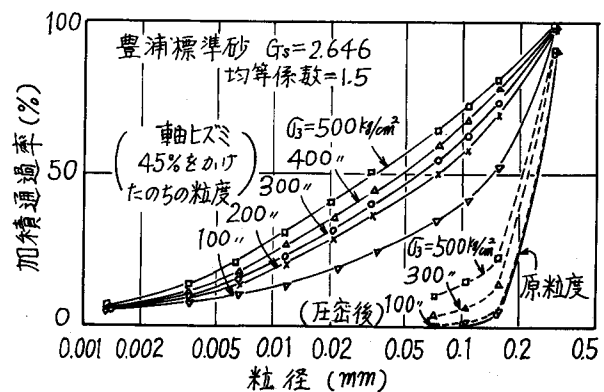


図-6 圧密およびせん断による粒度変化

互いに交わる二方向のスリップライン群が観察される。このスリップラインはゴムスリーブ内面に明瞭な傷として残っている。図-7はその一部を写しとったものである。その傾きは、多くは 68° ~ 72° の間にあり、拘束圧の影響はほとんど認められない。

6. 実験結果のまとめ 実験結果を要約するとつきのようになる。

a) 100 kg/cm^2 以下の等方圧密圧力のもとでは粒子破碎はきわめて小さく、圧密特性は低圧におけるそれに近い。 100 kg/cm^2 と 200 kg/cm^2 の間に標準砂の破碎を急に増す圧密圧力が存在する。b) 100% 圧密に要する時間は圧密圧力に支配される。それは破碎による粒子再配列が繰返し行なわれながら最終的に到達するためと思われる。

c) 高拘束圧下におけるせん断特性はつきの表で低圧におけるそれと異なる。最大軸差応力に達する軸ヒズミはきわめて大きく、拘束圧によって差がある。せん断中の体積変化は負(膨張)にならざり。軸ヒズミを十分に与えると拘束圧力に応じた最終拘束比に達する。この拘束比は拘束圧が高いほど小さく、 $G = 500 \text{ kg/cm}^2$ の場合、 $\epsilon_s = 0.24$ で砂岩の空隙率の範囲に入る。d) せん断による粒子破碎は著しく、拘束圧が高いほどその量は多い。これはせん断变形とともに粒子相互の摩擦作用によるものと考えられる。e) $G = 100 \text{ kg/cm}^2$ 以上でせん断による多数のスリップラインが観察されるが、その傾きは拘束圧($100\sim 500 \text{ kg/cm}^2$)の大きさに無関係のようである。

7. あとがき 筆者らの実験は緒についたばかりで、本報では、Vesićらの行った実験の一部を標準砂について検証したにとどまった。また、高压であるために生じる実験技術上の問題も少なくなれ。その解決をはかりながら、高拘束圧下における土の諸性質について検討を続ける予定である。

謝辞 高圧三軸圧縮試験機を製作するにあたり、工業技術院地質調査所星野一男氏の多大な指導を仰いた。また、試験機製作關係者の積極的協力を得た。記して深く謝意を表す次第である。

文献

- 1) Griggs, D. & Handin, J.: Rock Deformation, The Geological Society of America Memoir 79, 1960
- 2) Vesić, A. S. & Clough, G. W.: Behavior of Granular Materials under High Stresses, Proc. ASCE, SM3, 1968, pp. 661~688
- 3) 中井ほか: 高圧下での試料の機械的性質について、高圧力, Vol. 7, No. 2, 1969, pp. 1547~1552

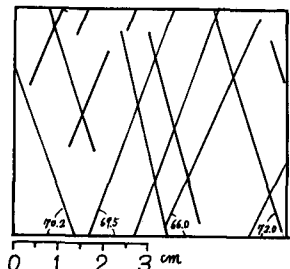


図-7 ゴムスリーブ内面のキズ
(スリップラインを示す。G=200kg/cm²)



(1)標準砂 (2)G=100kg/cm² (3)G=200kg/cm²
原粒度 圧密後 断裂(ε=45%)

写真-2 試料の顕微鏡写真